文章编号: 1006-4354 (2004) 01-0014-04

环流季节变化及其异常的诊断分析

蔡新玲1, 王盘兴1, 李 明2, 陶建玲2

(1. 南京气象学院, 江苏南京 210044; 2. 陕西省气象台, 陕西西安

摘 要:介绍了局地型相似系数(LPAC)的计算方法。利用 NCEP/NCAR 850 hPa 月平均风场 41 a 再分析资料,得出多年平均月际局地型相似系数图,由此分析了环流的季节变化,并结合长 江流域洪涝的1998年,分析了东亚环流季节转换的异常特征。结果表明,局地型相似系数图能很 好地揭示环流的季节变化,并能反映季节转换的异常。

[6]

关键词: 局地型相似系数; 环流; 季节变化

大气环流具有季节变化, 以冬季和夏季环流

中图分类号: P456.3 文献标识码: A

为 2 个基本态,它们之间有较大差异。而且,季 节变化在许多区域还具有跳跃性。叶笃正、陶诗 言和李麦村[1]指出大气环流季节变化中存在"6 月突变"和"10月突变"。曾庆存等[2]用几个代表 经度上的 300 hPa 东西风和 500 hPa 位势高度的 纬度—时间剖面图作了 1981 和 1982 年大气环流 的季节变化分析,发现东亚大陆以东至北美大陆, 以及热带至高纬,大气环流的变化确有突变性。天

气气候的经验表明,局地环流型(如风、压系 统) 与局地天气气候(如气温、降水)的关系应 表征环流的要素值(如风速、气压值)更密切。当

收稿日期: 2003-08-24

26 (2): 76-83.

[5]

作者简介: 蔡新玲(1969-), 女, 陕西周至人, 工程师, 主要从事天气预报工作。

参考文献:

- 陈 静,薛纪善,颜 宏.物理过程参数化方案对 [1]中尺度暴雨数值模拟影响的研究[J]. 气象学报,
- 2003, 61 (2): 203-218. $\lceil 2 \rceil$ 王鹏云,阮 征,康红文.华南暴雨中云物理过程 的数值研究[J]. 应用气象学报,2002,13(1):78-
- 87. [3] 康丽莉,雷恒池,肖稳安.中尺度模式中各种湿物
- $\lceil 4 \rceil$ Grell G A, Dudhia J, Stauffer D R. A description of the fifth-generation Penn State/NCAR

理过程的数值模拟[J]. 南京气象学院学报,2003,

mesoscale model (MM5) [Z] . NCAR Techinacal Anthes R A. A cumulus parameterization scheme

used by cumulus parameterizations [J]. Mon Wea Rev, 1993, 121: 764-787. [7] Hsie E Y, Farley R D, Orville H D. Numerical

Grell G A. Prognostic evaluation of assumptions

- simulation of ice phase convective cloud seeding [J] . J Appl Meteor, 1980, 19: 950-977. [8] Dudhia J. A nonhydrostatic version of the Penn
 - State-NCAR mesoscale model: Validation tests
- and simulation of an Atlantic cyclone and cold front [J]. Mon Wea Rev, 1993, 121: 1493-1513. [9] Reisner J, Rasmussen R M, Bruintjes R T.
 - Explicit forecasting of supercooled liqid water in winter storms using the MM5 model [J] . Q J R
- Metero Soc, 1998, 124: 1071-1107. [10] Schltz P. An explicit parameterization for operational numerical weather prediction [J]. Mon

Wea Rev, 1995, 123: 3331-3343.

utilizing a one-dimensional cloud model [J]. Mon Wea Rev, 1977, 105: 270-286.

Note/NT-398+1. A, 1994: 138.

 $A_n(I,J) =$

(9)

被用于数值试验结果的分析[4],得到良好的效果。 局地型相似系数及其计算方法

因此,王盘兴[3]提出一种着眼于局地环流型差异

的描述环流变化的环流特征量即局地型相似系数 LPAC (Local pattern analogue coefficient),它曾

上提出的,将同一区域被比较的2个气象要素场 看成是欧氏空间的2个向量,便可用其夹角余弦

2004 (1)

义分别是

量同(1)式。

设某一区域 D 不同时刻的 2 个被比较的数 量场为 $F_1(\lambda,\varphi)$ 、 $F_2(\lambda,\varphi)$,其相似系数 A_s 由(1)式

定义在
$$D$$
 区域的中心位置 (λ_0, φ_0) 上,
$$\int_{D} [F_1^*(\lambda, \varphi) \ F_2^*(\lambda, \varphi)] d\sigma$$
$$A_s(\lambda_0, \varphi_0) = \frac{\int_{D} [F_1^*(\lambda, \varphi) \ \| \ \| F_2^*(\lambda, \varphi) \ \|}{\| F_1^*(\lambda, \varphi) \ \| \ \| F_2^*(\lambda, \varphi) \ \|},$$
(1)

式中, $[F_1(\lambda,\varphi)]_D$ 、 $[F_2(\lambda,\varphi)]_D$ 分别是 $F_1(\lambda,\varphi)$ 、 F_2 (λ,φ) 的区域平均值, $F_1^*(\lambda,\varphi)$ 、 $F_2^*(\lambda,\varphi)$ 是对区 域平均值的偏差," || || "是取模算符,他们的定

 $[F_1(\lambda,\varphi)]_D = \iint F_1(\lambda,\varphi) d\sigma/D$

 $[F_2^*(\lambda,\varphi) = F_2(\lambda,\varphi) - [F_2(\lambda,\varphi)]_D$

$$[F_{2}(\lambda,\varphi)]_{D} = \iint_{D} F_{2}(\lambda,\varphi) d\sigma/D$$

$$[F_{1}^{*}(\lambda,\varphi)]_{D} = F_{1}(\lambda,\varphi) - [F_{1}(\lambda,\varphi)]_{D},$$
(3)

$$\parallel F_1^*(\lambda, \varphi) \parallel = \left[\iint_D F_1^{*2}(\lambda, \varphi) \mathrm{d}\sigma \right]^{1/2}, \quad (4)$$

$$\|F_2^*(\lambda,\varphi)\| = \left[\iint_D F_2^{*2}(\lambda,\varphi) d\sigma\right]^{1/2}, \quad (5)$$

类似地,将D域上的2个向量场(以风场为例) V_1 (λ,φ) 和 $V_2(\lambda,\varphi)$ 写成复数形式

$$V_1(\lambda,\varphi) = u_1(\lambda,\varphi) + iv_1(\lambda,\varphi)$$

 $V_2(\lambda,\varphi) = u_2(\lambda,\varphi) + iv_2(\lambda,\varphi)$
然后可以定义二维向量场的 LPAC

$$A_{v}(\lambda_{0},\varphi_{0}) = \frac{\operatorname{Re}\left[\iint_{D} V_{1}^{*}(\lambda,\varphi)\overline{V}_{2}^{*}(\lambda,\varphi)\right] d\sigma}{\|V_{1}^{*}(\lambda,\varphi)\| \|V_{2}^{*}(\lambda,\varphi)\|}, (7)$$
式中"Re()"表示取实部,"一"为取共轭,其它

对于给定在均匀经纬格点网上的气象要素

 $D \in \Omega$ 内逐点移动,根据(1)、(7)的离散场计算

 $\sum_{i=I-I_0}^{I+I_0} \sum_{j=J-J_0}^{J+J_0} (u_{1ij}^* u_{2ij}^* + v_{1ij}^* v_{2ij}^*)$

 $\frac{\sum\limits_{i=I-I}^{I-I_0}\sum\limits_{j=J-J}^{J-I_0}F_{1ij}^*F_{2ij}^*}{\left[\sum\limits_{i=I-I}^{I+I_0}\sum\limits_{i=J-J}^{J+J_0}F_{1ij}^{*\,2}\right]^{1/2}\left[\sum\limits_{i=I-I}^{I+I_0}\sum\limits_{j=J-J}^{J+J_0}F_{2ij}^{*\,2}\right]^{1/2}}$

计算出图 1 中 Ω' 区域上所有点的 A_s 、 A_r 值。

环流季节转换简单分析

月平均图上定常波的诊断。

所用资料为 NCEP/NCAR 的 850 hPa 月平 均风场,资料为1957年12月至1998年12月。计

算的范围 (Ω') 为 30°S~75°N 的球带, 网格距为 $\Delta \varphi \times \Delta \lambda = 2.5^{\circ} \times 2.5^{\circ}$,选择 D 的范围为 $50^{\circ}(\lambda) \times$ 10° (φ),它对应 $I_0=10$ 、 $J_0=2$,这种 D 适合于

计算 LPAC 的资料范围

分析 A_v 的季节变化便可分析环流的季节变 化。4-5月、9-10月 850 hPa 风场的平均月际 LPAC 图 (图 2a、图 2b)上,低值区表示该季节

所在地环流季节转换相对周围明显。由图 2a 可 见,4-5月北半球环流转换相对明显的区域位于 赤道西太平洋印度尼西亚附近至赤道和热带印度

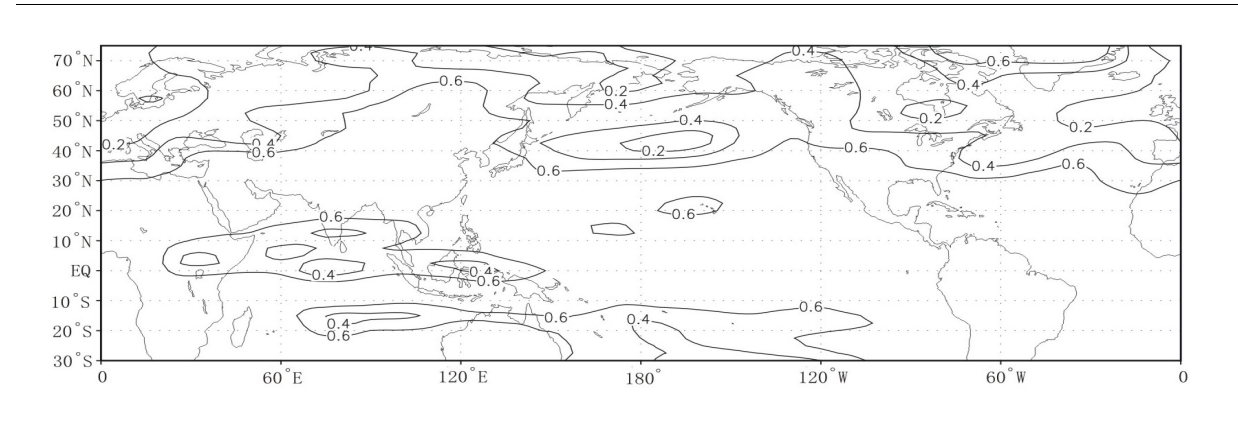


图 2a 4-5 月 850 hPa 风场平均月际变化的 LPAC 图

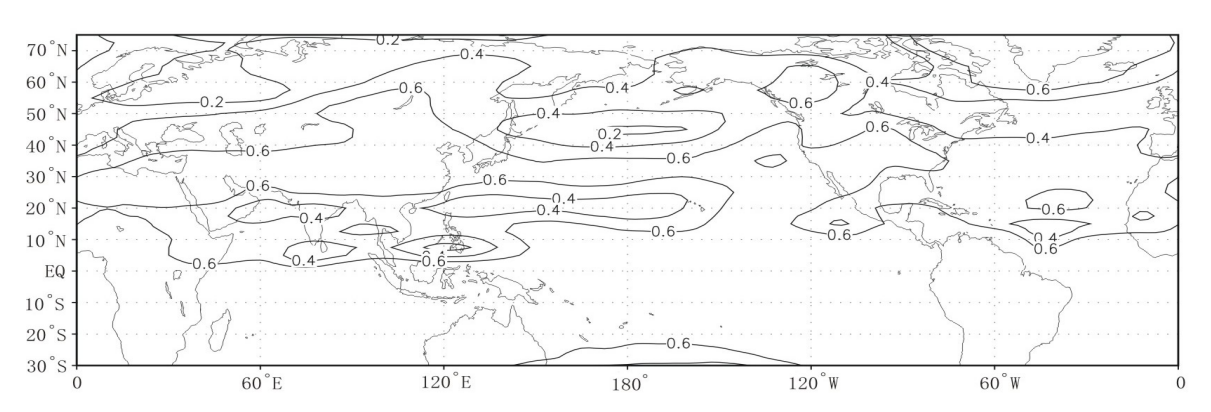


图 2b 9-10 月 850 hPa 风场平均月际变化的 LPAC 图

情况。

洋及南亚南部地区、北太平洋及以北地区、北大西洋及以北地区,东亚和南亚大部分地区环流变化相对不明显。LPAC图所反映的与4—5月环流的变化是一致的。对于亚洲季风区而言,4—5月处于由冬季环流向夏季环流的过渡季节,南海南部、南亚地区夏季风开始逐步建立,东亚的副热带夏季风还未建立,图 2a 中这一地区为 LPAC的低值区,东亚为 LPAC 的相对高值区。图 2b 是9—10月月际 850 hPa 风场的 LPAC图,9—10月北半球环流转换相对明显的区域位于热带菲律宾至南海、南亚到东亚至副热带西太平洋中部等地区,这与9、10月处于夏季风向冬季风转换这一过渡季节的环流转换是一致的。

分析其它月份的 LPAC 演变 (图略),可以清楚地看见在冬半年向夏半年的过渡中,有一条 LPAC 的低值带由 2、3 月位于澳洲北部及印度尼西亚附近位置向西、向北推进,到 5、6 月该低值带到达南亚季风区,而在 6、7 月的 LPAC 图中,

南亚季风区低值带消失,最明显的低值带出现在东亚季风区。这与西南季风6月爆发,之后相对稳定,东亚夏季风由5月开始逐步向北推进是一致的。因此,LPAC图简单明了地反映了夏季风的推进过程。由夏半年向冬半年的过渡中,大致相反的过程在这一区域重演,反映了夏季风撤退冬季风的建立。

3 1998年夏半年季节转换特征分析

从6—7月(图3)、7—8月的平均LPAC图(图略)看,北半球6—7月、7—8月环流月际变化最为明显的地区是东亚及西北太平洋。而在6—7月环流转换是,西太平洋副热带高压北跳,脊线从20~25°N跳到25~30°N,江淮梅雨结束,华北雨季开始。在7—8月,随着副热带高压的继续向北增强,雨带也继续向北推进。与LPAC图

表现的一致。这是多年平均、相当于正常年份的

从 1998 年 6-7 月 (图 4)、7-8 月 LPAC 图

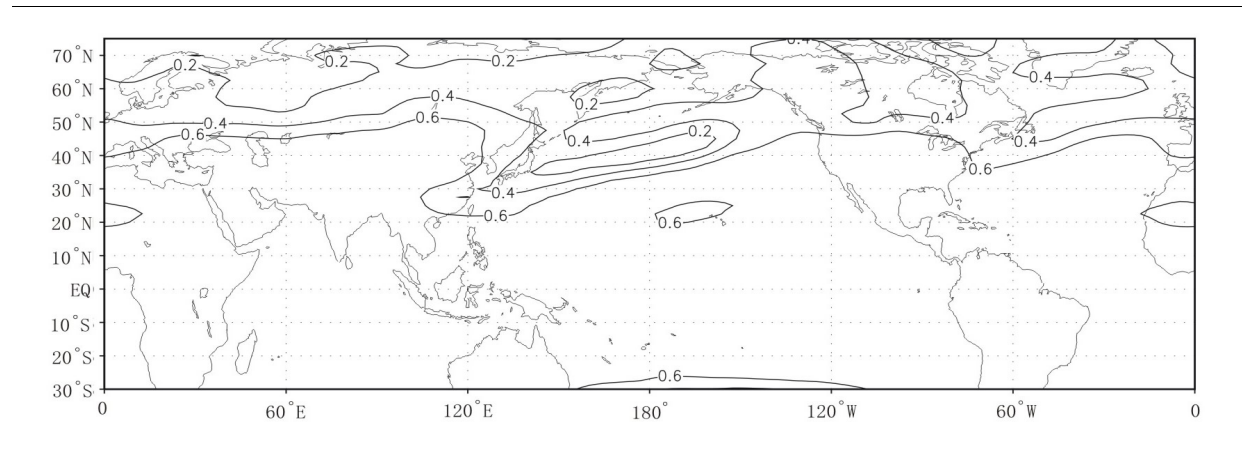


图 3 6-7月 850 hPa 风场平均月际变化的 LPAC 图

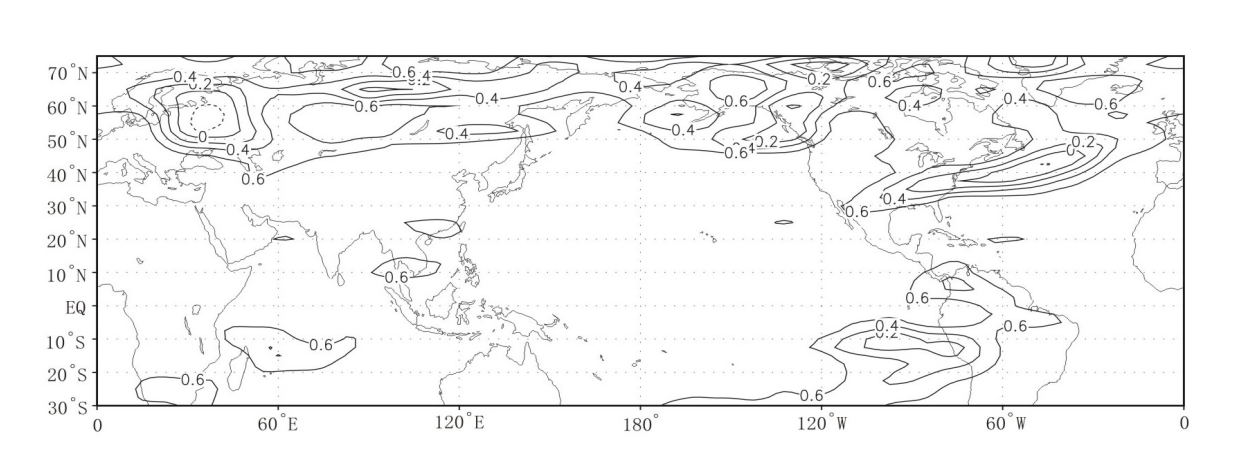


图 4 1998 年 6-7 月 850 hPa 风场的 LPAC 图

(图略)看,在正常年环流变化比较明显的东亚和西北太平洋地区,不存在 0.6 以下的等值线,说明该地区 6—8 月环流变化都不大。也就是说,1998 年夏季东亚季节变化发生了异常。事实上1998 年夏季长江流域出现了 1954 年以来全流域性的特大洪水。李维京^[5]分析指出,1998 年 6—8 月西太平洋副高位置较常年偏南,特别是 7 月中旬到 8 月上旬副高较常年持续异常偏南,从而形成了长江流域异常降水过程。1998 年东亚环流季节转换异常表现在 LPAC 图上即为该地区相对于正常年出现了 LPAC 的相对高值。LPAC 图简单明了地反映了 1998 年季节转换的异常特征。

4 讨论

局地型相似系数简要揭示了环流的变化特征和环流月际变化的异常。图形简洁,结论明确,但仅对850hPa风场月平均资料作了简单分析,其

它高度层及候平均资料的分析,应当更有意义,有待进一步研究。

参考文献:

- [1] 叶笃正,陶诗言,李麦存.在六月和十月大气环流的突变现象[J].气象学报,1958,29:249-263.
- [2] 曾庆存,梁倍忠,张明华.季风和大气环流季节突变的数值模拟[J].大气科学,1988,(特刊):22-42.
- [3] Wang Panxing. A map of local pattern analogue coefficient—a tools for display circulation anamaly [J]. Acta Meteorlogical Sinica, 1992, 6: 325-331.
- [4] Wang Panxing. Anomaly of the IAP GCM model atmosphere in EI Nino year [J]. Acta
- Meteorological Sinica. 1991, 5: 608-616.

 [5] 李维京. 1998 年大气环流异常及其对中国气候异常的影响 [J]. 气象, 1999, 25 (4): 20-29.